

# Генерация неклассического света при встречном параметрическом усилении в последовательных взаимодействиях

**В.В.Волоховский, А.С.Чиркин**

*Развита квантовая теория встречного последовательного взаимодействия волн с кратными частотами  $\omega$ ,  $2\omega$  и  $3\omega$ . В приближении заданного поля волны накачки с частотой  $2\omega$  изучены параметрические процессы высокочастотного и низкочастотного усиления волн с частотами  $\omega$  и  $3\omega$  соответственно. На этих частотах рассмотрены флуктуации квадратурных компонент, статистика фотонов и корреляция между флуктуациями числа фотонов.*

**Ключевые слова:** квадратурно-сжатый свет, статистика фотонов, встречное взаимодействие, последовательные взаимодействия.

## 1. Введение

В настоящее время наиболее распространенным способом получения неклассического света является вырожденное параметрическое усиление при высокочастотной накачке (см., напр., [1, 2]). В случае трехчастотного взаимодействия типа I (накачка – необыкновенная волна, а усиленная волна – обыкновенная, взаимодействие  $e \rightarrow oo$ ) генерируется квадратурно-сжатый свет. С точки зрения применения неклассического света более перспективным представляется параметрическое взаимодействие типа II (взаимодействие  $e \rightarrow oe$ ). В этом случае генерируемое излучение состоит из ортогонально поляризованных полей, которые могут находиться в так называемом перепутанном состоянии. Перепутанные поляризационные состояния можно использовать, например, в квантовой криптографии [3] и квантовой телепортации [4] (см. также обзор [5]).

Наиболее эффективно параметрические взаимодействия протекают при выполнении условия фазового синхронизма или квазисинхронизма. Последнее условие реализуется в периодически-неоднородных нелинейных кристаллах (ПННК), в частности в кристаллах с регулярной доменной структурой (РДС-кристаллы). При квазисинхронном параметрическом взаимодействии вектор обратной «нелинейной решетки» (решетки пространственной модуляции коэффициента связи волн) компенсирует расстройку волновых векторов. Вместе с тем в ПННК с помощью выбора периода «нелинейной решетки» можно удовлетворить условиям квазисинхронизма одновременно для двух трехчастотных взаимодействий волн с кратными частотами  $\omega$ ,  $2\omega$ ,  $3\omega$  [6, 7] и реализовать в последовательных взаимодействиях параметрическое усиление при низкочастотной накачке как при попутной [6], так и встречной [8] геометрии. Одна из особенностей последовательных взаимодействий состоит в том, что

энергию накачки, например с частотой  $2\omega$ , можно полностью преобразовать в сигнальную волну с частотой  $3\omega$ .

В [9] изучены квантовые статистические свойства генерируемого света при попутном параметрическом взаимодействии в поле низкочастотной накачки. Установлено, что при этом формируется квадратурно-сжатый свет как на низкой частоте  $\omega$ , так и на высокой частоте  $3\omega$  (частота накачки  $2\omega$ ).

Цель настоящей работы – исследование квантовых свойств света, генерируемого при встречном параметрическом взаимодействии в поле низкочастотной накачки. Расчеты проведены в приближении заданного поля классической волны с частотой  $2\omega$ . В этом приближении особенностями встречного взаимодействия обладает взаимодействие волн в геометрии, при которой встречная волна имеет частоту  $\omega$  или  $3\omega$ . Изучается связь квантовых флуктуаций света на генерируемых частотах  $\omega$  и  $3\omega$ .

## 2. Основные соотношения

Рассмотрим последовательное протекание двух трехчастотных процессов в квадратично-нелинейной среде:

$$2\omega \rightarrow \omega + \omega, \quad \omega + 2\omega \rightarrow 3\omega. \quad (1)$$

В данном случае волна с частотой  $2\omega$  является интенсивной волной накачки. Первый процесс в (1) представляет собой вырожденное параметрическое усиление при высокочастотной накачке, а второй – смешение оптических частот. Как отмечено выше, одновременно такие процессы могут эффективно протекать при квазисинхронных взаимодействиях. Вместе с тем с энергетической точки зрения динамика процессов (1) в ПННК существенно не отличается от их динамики в однородных нелинейных кристаллах, если характерная длина нелинейного взаимодействия волн  $L_{NL}$  (см. ниже) значительно больше периода модуляции  $\Lambda$  нелинейной восприимчивости [10]. В связи с этим нелинейную среду будем считать однородной. Разумеется, следует помнить, что встречные взаимодействия волн принципиально возможны лишь в ПННК.

При квантовом описании эволюции взаимодействующих волн в пространстве удобно пользоваться оператором импульса поля [11]. В представлении взаимодействия

Московский государственный университет им. М.В.Ломоносова, физический факультет, Россия, 119899 Москва, Воробьевы горы

Поступила в редакцию 17 марта 2000 г., после доработки – 14 сентября 2000 г.

вия оператор импульса поля для рассматриваемого процесса имеет вид

$$G_{\text{int}} = \hbar(\gamma_2 a_1^+ a_2 + \gamma_3 a_3^+ a_1 a_2 + \text{эрмит. сопр.}), \quad (2)$$

где  $a_j (a_j^+)$  – оператор уничтожения (рождения) фотона с частотой  $j\omega$ ;  $\gamma_{2,3}$  – эффективные коэффициенты нелинейной связи волн, определяемые нелинейностями кристалла и порядком квазисинхронизма [6].

Пространственная эволюция оператора  $a_j$  определяется уравнением [11]

$$-i\hbar \frac{da_j}{dz} = [a_j, G_{\text{int}}]. \quad (3)$$

Будем изучать поведение квантовых флуктуаций в процессе усиления двух слабых волн с частотами  $\omega$  и  $3\omega$  в поле волны с частотой  $2\omega$ . Ограничимся анализом в приближении заданного поля накачки, считая ее классической, т. е. в (2) заменим оператор  $a_2(z)$  числом  $C_2 = a_2(0)$ . При этом получим

$$G_{\text{int}} = \hbar(k_2 a_1^+ + k_3 a_3^+ a_1 + \text{эрмит. сопр.}), \quad (4)$$

где  $k_j = \gamma_j C_2$ .

Пусть волна с частотой  $3\omega$  распространяется навстречу волне с частотой  $\omega$ , бегущей вдоль положительного направления оси  $z$ . Тогда квантовые уравнения встречного взаимодействия примут вид (ср. с [9])

$$\begin{aligned} \frac{da_1}{dz} &= -ik_3^* a_3 - i2k_2 a_1^+, \\ \frac{da_3}{dz} &= ik_3 a_1 \end{aligned} \quad (5)$$

с граничными условиями

$$a_1(0) = a_{10}, \quad a_3(L) = a_{3L}, \quad (6)$$

где  $L$  – длина кристалла. Уравнения (5) схожи с рассмотренными в работе [12] уравнениями для нелинейного ответвителя при интенсивной накачке на частоте второй гармоники. В нелинейной части ответвителя происходит усиление волны на основной частоте в поле второй гармоники. В исследуемом нами случае в качестве одной из основных волн выступает обратная волна с частотой  $3\omega$ .

Решения уравнений (5) выражаются через операторы в сечении  $z = 0$  в виде

$$a_1(z) = u_2(z)a_{30} + v_2(z)a_{30}^+ + w_2(z)a_{10} + y_2(z)a_{10}^+, \quad (7)$$

$$a_3(z) = u_1(z)a_{30} + v_1(z)a_{30}^+ + w_1(z)a_{10} + y_1(z)a_{10}^+, \quad (8)$$

где

$$u_1(z) = \frac{2|k_2|}{\lambda_0^2} [\lambda_1 \cosh(\lambda_2 z) - \lambda_2 \cosh(\lambda_1 z)];$$

$$v_1(z) = -ie^{i3\varphi_2} F_1(z); \quad w_1(z) = ie^{i\varphi_2} G_1(z);$$

$$y_1(z) = e^{i2\varphi_2} G_2(z); \quad u_2(z) = -ie^{-i\varphi_2} G_1(z);$$

$$v_2(z) = y_1(z); \quad y_2(z) = -ie^{i\varphi_2} F_2(z);$$

$$w_2(z) = \frac{2|k_2|}{\lambda_0^2} [\lambda_1 \cosh(\lambda_1 z) - \lambda_2 \cosh(\lambda_2 z)];$$

$$\varphi_2 = \arg C_2; \quad F_1(z) = \frac{2|k_2|}{\lambda_0^2} [\lambda_2 \sinh(\lambda_1 z) - \lambda_1 \sinh(\lambda_2 z)];$$

$$F_2(z) = \frac{2|k_2|}{\lambda_0^2} [\lambda_1 \sinh(\lambda_1 z) - \lambda_2 \sinh(\lambda_2 z)];$$

$$G_1(z) = \frac{2|k_2 k_3|}{\lambda_0^2} [\sinh(\lambda_1 z) - \sinh(\lambda_2 z)];$$

$$G_2(z) = \frac{2|k_2 k_3|}{\lambda_0^2} [\cosh(\lambda_1 z) - \cosh(\lambda_2 z)];$$

$$\lambda_{1,2} = |k_2| \pm \gamma; \quad \lambda_0^2 = 4|k_2|\gamma; \quad \gamma = (|k_2|^2 + |k_3|^2)^{1/2}.$$

Однако истинными граничными условиями для рассматриваемой задачи являются условия (6), поэтому исключим решением системы (5) будут выражения

$$a_1(L) = U_2 a_{3L} + V_2 a_{3L}^+ + W_2 a_{10} + Y_2 a_{10}^+, \quad (9)$$

$$a_3(0) = U_1 a_{3L} + V_1 a_{3L}^+ + W_1 a_{10} + Y_1 a_{10}^+.$$

Здесь

$$U_1 = \frac{u_1(L)}{J}; \quad W_1 = \frac{1}{J} [v_1(L)y_1^*(L) - u_1(L)w_1(L)];$$

$$V_1 = -\frac{v_1(L)}{J}; \quad Y_1 = \frac{1}{J} [v_1(L)w_1^*(L) - u_1(L)y_1(L)];$$

$$J = |u_1(L)|^2 - |v_1(L)|^2;$$

$$U_2 = \frac{1}{J} [u_2(L)u_1(L) - v_2(L)v_1^*(L)]; \quad (10)$$

$$V_2 = \frac{1}{J} [u_1(L)v_2(L) - u_2(L)v_1(L)];$$

$$W_2 = u_2(L)W_1 + v_2(L)U_1 + w_2(L);$$

$$Y_2 = u_2(L)Y_1 + v_2(L)W_1^* + y_2(L).$$

При этом справедливы следующие канонические коммутационные соотношения:

$$[a_1(0), a_1^+(0)] = [a_1(L), a_1^+(L)]$$

$$= [a_3(L), a_3^+(L)] = [a_3(0), a_3^+(0)] = 1. \quad (11)$$

В работе [10] (см. также обзор [13]) при анализе двух связанных квазисинхронных процессов установлено, что сначала идет частичный распад фотонов накачки с частотой  $2\omega$  на фотоны с частотой  $\omega$ , которые, в свою очередь, складываясь с фотонами накачки, формируют фотоны с частотой  $3\omega$ . Как известно, при низкочастотном параметрическом усилении происходит перераспределение вакуумных флуктуаций, приводящее к образованию квадратурно-сжатого света на частоте  $\omega$ . Поскольку в нашем случае часть таких фотонов будет участвовать в формировании квантов света с частотой  $3\omega$ , то на последней следует ожидать формирования неклассического света.

### 3. Флуктуации квадратурных компонент

Введем операторы квадратур усиливаемых волн следующим образом:

$$X_j(\theta_j) = a_j \exp(i\theta_j) + a_j^+ \exp(-i\theta_j), \quad (12)$$

$$Y_j(\theta_j) = i[a_j \exp(i\theta_j) - a_j^+ \exp(-i\theta_j)] = X_j(\theta_j + \pi/2).$$

Здесь  $\theta_j$  – фазы опорной волны при баланском гомодинном детектировании [2];  $j = 1, 3$ . Пользуясь решением (7), (8), получаем выражения для квадратурных компонент (12), которые определяются всеми исходными квадратурами и существенно зависят от фаз  $\theta_1$  и  $\theta_3$  и фазы волны накачки  $\varphi_2$ . Для упрощения анализа фазовые соотношения выберем таким образом, чтобы операторы квадратур не зависели от эрмитово-сопряженных операторов:

$$3\theta_1 = \theta_3, \quad \varphi_2 + 2\theta_1 = -\pi/2. \quad (13)$$

В данном случае для операторов квадратур получаем

$$X_1(L) = R_1(L)X_{10} - Q(L)X_{3L},$$

$$Y_1(L) = T_1(L)Y_{10} - P(L)Y_{3L}, \quad (14)$$

$$X_3(0) = Q_1(L)X_{3L} + Q(L)X_{10},$$

$$Y_3(0) = P_1(L)Y_{3L} + P(L)Y_{10},$$

где

$$Q(L) = \frac{G_1(L) - G_2(L)}{u_1(L) + F_1(L)}, \quad P(L) = \frac{G_1(L) + G_2(L)}{u_1(L) - F_1(L)};$$

$$Q_1(L) = \frac{1}{u_1(L) + F_1(L)}, \quad P_1(L) = \frac{1}{u_1(L) - F_1(L)}; \quad (15)$$

$$R_1(L) = w_2(L) - F_2(L) - \frac{[G_1(L) - G_2(L)]^2}{u_1(L) + F_1(L)};$$

$$T_1(L) = w_2(L) + F_2(L) - \frac{[G_1(L) + G_2(L)]^2}{u_1(L) - F_1(L)}.$$

Из (14) следует, что флуктуации на генерируемых частотах оказываются взаимосвязанными, поскольку в выражения для квадратур с разными частотами входят функции  $Q(L)$  и  $P(L)$ , учитывающие взаимное влияние этих флуктуаций.

Введем параметры

$$L_{NL} = |k_2|^{-1}, \quad \beta = |k_3|/|k_2|, \quad \zeta = L/L_{NL},$$

упрощающие анализ полученных результатов и обозначающие соответственно характерную длину нелинейного взаимодействия, отношение нелинейных коэффициентов связи волн и приведенную длину кристалла. Тогда входящие в (15) функции примут вид

$$u_1(\zeta, \beta) = A(\beta) \{ \cosh[(1 - (1 + \beta^2)^{1/2})\zeta] - \eta(\beta) \times \cosh[(1 + (1 + \beta^2)^{1/2})\zeta] \},$$

$$F_1(\zeta, \beta) = A(\beta) \{ \eta(\beta) \sinh[(1 + (1 + \beta^2)^{1/2})\zeta] \}$$

$$- \sinh[(1 - (1 + \beta^2)^{1/2})\zeta] \},$$

$$F_2(\zeta, \beta) = A(\beta) \{ \sinh[(1 + (1 + \beta^2)^{1/2})\zeta] \}$$

$$- \eta(\beta) \sinh[(1 - (1 + \beta^2)^{1/2})\zeta] \}, \quad (16)$$

$$w_2(\zeta, \beta) = A(\beta) \{ \cosh[(1 + (1 + \beta^2)^{1/2})\zeta] \}$$

$$- \eta(\beta) \cosh[(1 - (1 + \beta^2)^{1/2})\zeta] \},$$

$$G_1(\zeta, \beta) = B(\beta) \{ \sinh[(1 + (1 + \beta^2)^{1/2})\zeta] \}$$

$$- \sinh[(1 - (1 + \beta^2)^{1/2})\zeta] \},$$

$$G_2(\zeta, \beta) = B(\beta) \{ \cosh[(1 + (1 + \beta^2)^{1/2})\zeta] \}$$

$$- \cosh[(1 - (1 + \beta^2)^{1/2})\zeta] \},$$

где

$$A(\beta) = \frac{1 + (1 + \beta^2)^{1/2}}{2(1 + \beta^2)^{1/2}}, \quad B(\beta) = \frac{\beta}{2(1 + \beta^2)^{1/2}};$$

$$\eta(\beta) = \frac{1 - (1 + \beta^2)^{1/2}}{1 + (1 + \beta^2)^{1/2}}.$$

Будем считать, что падающие на кристалл поля находятся в вакуумном состоянии. Принимая во внимание (14), для дисперсий квадратур  $V_{jA} = \langle A_j^2 \rangle - \langle A_j \rangle^2$  получаем выражения

$$V_{1X} = [R_1^2(\beta, \zeta) + Q^2(\beta, \zeta)] V_0,$$

$$V_{1Y} = [T_1^2(\beta, \zeta) + P^2(\beta, \zeta)] V_0, \quad (17)$$

$$V_{3X} = [Q_1^2(\beta, \zeta) + Q^2(\beta, \zeta)] V_0,$$

$$V_{3Y} = [P_1^2(\beta, \zeta) + P^2(\beta, \zeta)] V_0,$$

где  $V_0 = 1$  – дисперсия квадратур вакуумного поля.

Выражения (17) описывают дисперсии квадратур на выходе нелинейного кристалла (в сечении  $z = L$ ) для волны с частотой  $\omega$  и на его входе (в сечении  $z = 0$ ) для волны с частотой  $3\omega$ .

При  $k_3 = 0$  согласно (16), (17)

$$V_{3X} = V_{3Y} = V_0, \quad V_{1X} = e^{-2\zeta} V_0, \quad V_{1Y} = e^{2\zeta} V_0.$$

Дисперсии квадратур поля с частотой  $3\omega$  остаются равными дисперсиям квадратур вакуумных флуктуаций, тогда как дисперсии квадратур поля с частотой  $\omega$  изменяются, причем одна из них, а именно  $V_{1X}$ , при выполнении фазового соотношения (13) уменьшается. Это объясняется тем, что в данном случае протекает лишь один из квазисинхронных процессов – параметрическое усиление при высокочастотной накачке (процесс  $2\omega \rightarrow \omega + \omega$ ).

При  $k_2 = 0$  дисперсии квадратур оказываются равными дисперсиям вакуумного поля:  $V_{3X} = V_{3Y} = V_{1X} =$

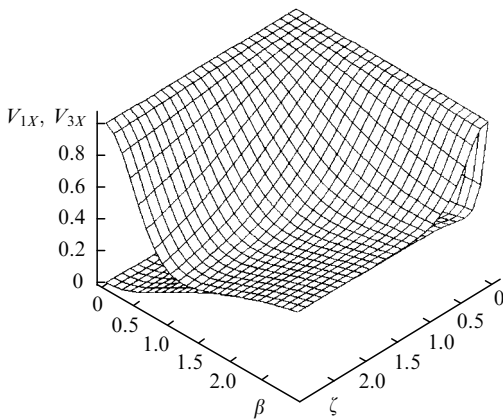


Рис.1. Дисперсии  $V_{3X}$  (верхняя поверхность) и  $V_{1X}$  (нижняя поверхность) в зависимости от приведенной длины нелинейной среды  $\zeta = L/L_{NL}$  и отношения коэффициентов связи  $\beta = |k_3|/|k_2|$ .

$V_{1Y} = V_0$ , поскольку выполнены лишь условия для преобразования частоты вверх ( $3\omega \rightarrow 2\omega + \omega$ ), которое при наличии только вакуумных флуктуаций на частоте  $\omega$  не реализуется.

В случае же  $k_2 \neq 0$  и  $k_3 \neq 0$  происходит подавление квантовых флуктуаций в обеих выходных модах. При выборе начальных фазовых условий вида (13) флуктуации квадратур  $X_3(0)$  и  $X_1(L)$  оказываются уменьшенными, а флуктуации квадратур  $Y_3(0)$  и  $Y_1(L)$  – увеличенными, что согласуется с соотношением неопределенностей Гейзенберга. Отметим, что квантовые флуктуации на частоте  $3\omega$  всегда превышают таковые на частоте  $\omega$  (рис.1).

В рассмотренном взаимодействии образование квадратурно-сжатого света происходит следующим образом. Первоначально, как отмечалось выше, идет параметрическое усиление при высокочастотной накачке. В этом процессе подавляются квантовые флуктуации в одной из квадратур на усиливаемой частоте (в нашем случае это квадратура  $X_1$ ). Затем при  $k_3 \neq 0$  происходит преобразование частоты вверх, вследствие чего трансформированные флуктуации частоты  $\omega$  переносятся в волну с частотой  $3\omega$ . Перераспределение флуктуаций на частоте  $3\omega$  следует рассматривать как параметрическое усиление при низкочастотной накачке.

Флуктуации при высокочастотном параметрическом усилении наиболее эффективно подавляются в отсутствие смешения частот ( $\beta = 0$ ), т. е. в отсутствие генерации излучения с высокой частотой  $3\omega$ . По мере роста  $\beta$  подавление флуктуаций на частоте  $\omega$  становится менее эффективным, поскольку генерируются кванты с частотой  $3\omega$ . Эта генерация происходит случайным образом. Конкуренция указанных двух факторов может приводить, как показал анализ, к появлению минимума дисперсии квадратуры  $X_3(0)$  в зависимости от  $\beta$ .

#### 4. Корреляционные свойства выходного излучения

Рассмотрим теперь статистику числа фотонов выходного излучения на усиливаемых частотах, а также их корреляционные свойства. Обозначим через  $\hat{n}_1$  и  $\hat{n}_3$  операторы числа фотонов на частотах  $\omega$  и  $3\omega$  соответственно, тогда

$$\hat{n}_j = a_j^+ a_j = \frac{1}{4} (X_j^2 + Y_j^2 - 2), \quad j = 1, 3. \quad (18)$$

Воспользовавшись выражениями (17) и утоляя, что для вакуумного поля  $V_0 = 1$ , для средних чисел фотонов получим соотношения

$$\begin{aligned} \bar{n}_1(\beta, \zeta) &\equiv \langle \hat{n}_1 \rangle = \frac{1}{4} [R_1^2(\beta, \zeta) + Q^2(\beta, \zeta) \\ &+ T_1^2(\beta, \zeta) + P^2(\beta, \zeta)], \\ \bar{n}_3(\beta, 0) &\equiv \langle \hat{n}_3 \rangle = \frac{1}{4} [Q_1^2(\beta, \zeta) + Q^2(\beta, \zeta) \\ &+ P_1^2(\beta, \zeta) + P^2(\beta, \zeta)]. \end{aligned} \quad (19)$$

Формулы (19) описывают среднее число фотонов в выходных модах в сечении  $z = L$  для моды с частотой  $\omega$  и в сечении  $z = 0$  для моды с частотой  $3\omega$ .

Далее определим дисперсии числа фотонов и корреляционную функцию  $\langle n_1, n_3 \rangle$  флуктуаций числа фотонов:

$$\begin{aligned} \sigma_{n_1}^2 &= \langle \hat{n}_1^2(L) \rangle - \langle \hat{n}_1(L) \rangle^2, \\ \sigma_{n_3}^2 &= \langle \hat{n}_3^2(0) \rangle - \langle \hat{n}_3(0) \rangle^2, \\ \langle n_1, n_3 \rangle &= \langle n_1(L) n_3(0) \rangle - \langle n_1(L) \rangle \langle n_3(0) \rangle. \end{aligned} \quad (20)$$

Учитывая выражения (14) и (18), для дисперсий чисел фотонов выходных мод имеем

$$\begin{aligned} \sigma_{n_1}^2 &= \frac{1}{8} [(R_1^2 + Q^2)^2 + (T_1^2 + P^2)^2 - 2(R_1^2 T_1^2 + Q^2 P^2) \\ &- 4(R_1 T_1 - 1)(QP - 1)], \\ \sigma_{n_3}^2 &= \frac{1}{8} [(Q_1^2 + Q^2)^2 + (P_1^2 + P^2)^2 \\ &- 2(Q_1^2 P_1^2 + Q^2 P^2) - 4(Q_1 P_1 - 1)(QP - 1)], \end{aligned} \quad (21)$$

а для корреляционной функции –

$$\begin{aligned} \langle n_1, n_3 \rangle &= \frac{1}{8} [(R_1 - Q_1)^2 Q^2 + (T_1 - P_1)^2 P^2 \\ &- (R_1 P - P_1 Q)^2 - (T_1 Q - Q_1 P)^2]. \end{aligned} \quad (22)$$

В выражениях (21), (22) аргументы стоящих в правой части функций опущены.

Корреляционные свойства выходного излучения удобно описывать при помощи коэффициента корреляции

$$K(\beta, \zeta) = \frac{\langle n_1, n_3 \rangle}{\sigma_{n_1} \sigma_{n_3}}. \quad (23)$$

Результаты расчета  $K(\beta, \zeta)$  представлены на рис.2. Видно, что коэффициент корреляции флуктуаций фотонов на частотах  $\omega$  и  $3\omega$  при  $\beta < 1$  больше, чем при  $\beta > 1$ , что связано с более эффективной генерацией суммарной частоты в последнем случае.

#### 5. Квантовые флуктуации при встречном взаимодействии волн

Поведение характеристик выходного излучения в зависимости от параметров задачи в рассматриваемом процессе имеет ряд особенностей по сравнению со случаем попутного взаимодействия волн [9]. При относи-

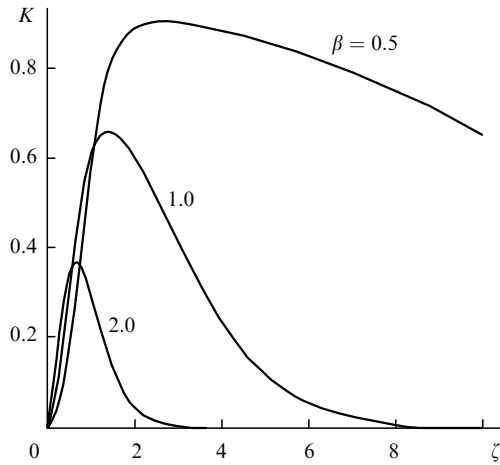


Рис.2. Коэффициент корреляции  $K$  флуктуаций числа фотонов в зависимости от приведенной длины нелинейной среды  $\zeta$  для разных отношений коэффициентов связи  $\beta$ .

тельно больших длинах взаимодействия ( $\zeta \rightarrow \infty$ ) выходные операторы поля и квадратур таковы:

$$\begin{aligned} a_1(L) &\rightarrow -\left(1 + \frac{1}{\beta^2}\right)^{1/2} a_{3L} + \frac{1}{\beta} a_{3L}^+, \\ a_3(0) &\rightarrow \left(1 + \frac{1}{\beta^2}\right)^{1/2} a_{10} - \frac{1}{\beta} a_{10}^+, \\ X_1(L) &\rightarrow -\frac{\beta}{1 + (1 + \beta^2)^{1/2}} X_3(L), \\ X_3(0) &\rightarrow \frac{\beta}{1 + (1 + \beta^2)^{1/2}} X_1(0), \\ Y_1(L) &\rightarrow -\frac{\beta}{(1 + \beta^2)^{1/2} - 1} Y_3(L), \\ Y_3(0) &\rightarrow \frac{\beta}{(1 + \beta^2)^{1/2} - 1} Y_1(0). \end{aligned} \quad (24)$$

Интересно, что выходные операторы определяются входными операторами на «сопряженной» частоте, отношении коэффициентов связи волн  $\beta$  и не зависят от начальных операторов на «своей» частоте.

Таким образом, как следует из (17) и (24), при встречном взаимодействии флуктуации квадратурных компонент не могут быть сделаны сколь угодно малыми. При этом до нуля могут быть подавлены квантовые флуктуации, обусловленные начальными флуктуациями на «своей» частоте, а выходной шум определяется перераспределенными флуктуациями, возникающими в каждой моде вследствие нелинейного взаимодействия.

На рис.2 показано поведение коэффициента корреляции  $K(\beta, \zeta)$  флуктуаций числа фотонов на частотах  $\omega$  и  $3\omega$  на выходе нелинейной среды в зависимости от приведенной длины кристалла. Поскольку при  $\zeta \rightarrow \infty$  выходные значения операторов поля зависят только от начальных операторов на «сопряженной» частоте, которые некоррелированы, то коэффициент корреляции  $K(\beta, \zeta)$  с ростом длины кристалла уменьшается и заметные корреляции имеют место в области нескольких нелинейных длин.

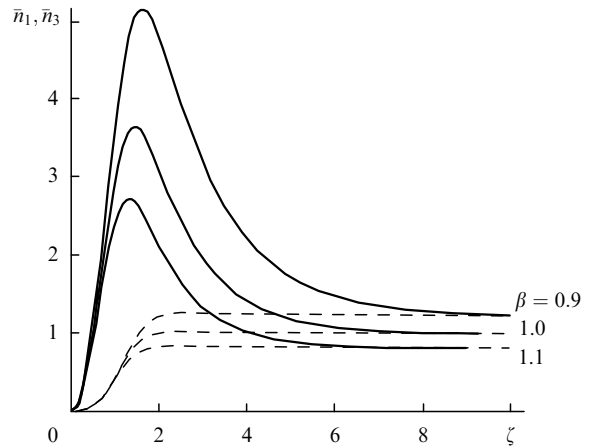


Рис.3. Среднее число фотонов на частотах  $\omega$  (сплошные кривые) и  $3\omega$  (штриховые кривые) на выходе нелинейной среды в зависимости от ее приведенной длины для разных отношений коэффициентов связи  $\beta$ .

Зависимости от приведенной длины нелинейной среды выходных средних чисел фотонов на генерируемых частотах представлены на рис.3.

Проанализируем теперь статистику излучения мод, обратившись к фактору Фано  $\mathcal{F}_j = \sigma_{n_j}^2 / \bar{n}_j$  ( $j = 1, 3$ ). Когерентному состоянию поля соответствует  $\mathcal{F}_j = 1$ . Фактор Фано, не равный единице, говорит об отличии статистики излучения моды от пуассоновской. При  $\mathcal{F}_j > 1$  статистика излучения суперпуассоновская, при  $\mathcal{F}_j < 1$  – субпуассоновская. Точные выражения для  $\mathcal{F}_j$  могут быть получены на основе формул (19) и (21). При относительно малых длинах кристалла ( $\zeta \ll 1$ ) имеем

$$\begin{aligned} \mathcal{F}_1 &\approx 2 + (8 - \beta^2/4)\zeta^2 + \dots, \\ \mathcal{F}_3 &\approx 1 + \frac{4}{9}\beta^2\zeta^2 + \dots. \end{aligned} \quad (25)$$

Отсюда следует, что при малых длинах взаимодействия статистика излучения на частоте  $3\omega$  близка к пуассоновской, а на частоте  $\omega$  образуются бифотонные состояния – коррелированные пары фотонов, имеющие суперпуассоновскую статистику [1, 2].

В случае  $\zeta \rightarrow \infty$  получаем

$$\mathcal{F}_j \rightarrow 2 \frac{1 + \beta^2}{\beta^2}, \quad j = 1, 3.$$

Видно, что при относительно больших длинах взаимодействия статистики выходного излучения на частотах  $\omega$  и  $3\omega$  становятся одинаковыми.

## 6. Заключение

Развитая квантовая теория встречного параметрического усиления низкой и высокой частот ( $\omega$  и  $3\omega$ ) в поле накачки с частотой  $2\omega$  при квазисинхронном последовательном взаимодействии волн с кратными частотами  $\omega$ ,  $2\omega$  и  $3\omega$  показала возможность получения квадратурно-сжатого света во встречных усиленных волнах с частотами  $\omega$  и  $3\omega$  и зависимость эффективности подавления квантовых флуктуаций от длины нелинейной среды и отношения коэффициентов связи волн. При этом статисти-

ка фотонов на частотах  $\omega$  и  $3\omega$  является суперпуассоновской.

Следует обратить внимание на следующую особенность рассмотренного процесса. Хотя расчеты выполнены в приближении заданного поля накачки, среднее число фотонов усиливаемых волн с ростом длины взаимодействия стремится к некоторому установленному значению порядка единицы (см. рис.3). Этот результат показывает, с одной стороны, справедливость использованного приближения, а с другой – существенное влияние вакуумных флуктуаций на встречное параметрическое взаимодействие.

Работа выполнена при частичной финансовой поддержке программы «Университеты России – фундаментальные исследования» и РФФИ (грант № 00-02-16040).

1. Клышко Д.Н. *Фотоны и нелинейная оптика* (М., Наука, 1980).
2. Walls D.F., Milburn G.J. *Quantum optics* (Berlin, Springer-Verlag, 1995)
3. Lomonaco S.J. *Cryptologia*, **23**, 1 (1999).
4. Bennet Ch.H., Brassard G., Crepean C., Jozca R., Peres A., Wooberg W.K. *Phys.Rev.Letts*, **70**, 1895 (1993).
5. Килин С.Я. УФН, **169**, 507 (1999).
6. Aleksandrovski A.L., Chirkin A.S., Volkov V.V. *J.Rus.Laser Research*, **18**, 101 (1997).
7. Pfister O., Wells J.S., Hollberg L. et al. *Optics Letts*, **22**, 1211 (1997).
8. Волков В.В., Чиркин А.С. *Квантовая электроника*, **26**, 82 (1999).
9. Чиркин А.С. *Оптика и спектроскопия*, **87**, 627 (1999).
10. Волков В.В., Чиркин А.С. *Квантовая электроника*, **25**, 101 (1998).
11. Toren M., Ben-Aryeh Y. *Quantum Optics*, **6**, 425 (1994).
12. Perina J., Perina J. Jr. *Quantum Semiclass. Optics*, **7**, 863 (1995).
13. Чиркин А.С., Волков В.В., Лаптев Г.Д., Морозов Е.Ю. *Квантовая электроника*, **30**, 847 (2000).